

◆ 妇产科影像学

CT and MRI features of ovarian endometrioid carcinoma

FANG Ruqi¹, CAO Dairong^{2*}, LI Jian², ZHOU Zuofu¹, CHEN Xiaping¹

(1. Department of Radiology, Fujian Provincial Maternity and Children's Hospital, Fuzhou 350001, China; 2. Department of Radiology, the First Affiliated Hospital of Fujian Medical University, Fuzhou 350005, China)

[Abstract] **Objective** To study the CT and MRI features of ovarian endometrioid carcinoma (OEC). **Methods** A total of 21 OEC patients proved by surgery and pathology were enrolled. The CT or MRI findings and clinical data were analyzed retrospectively. **Results** Totally 26 lesions were detected in 21 cases, 16 cases were unilateral and 5 cases were bilateral. Nine patients accompanied with uterine endometrioid carcinoma. All of the lesions were mixed cystic-solid, the solid components presented "nodular in cyst" in 9 lesions (9/26, 34.62%), while "cystic wall thickening" pattern in 17 lesions (17/26, 65.38%) was observed. The CT value of solid parts were 24—50 HU. The solid parts were low signal intensity on T1WI, iso or slightly high signal intensity on T2WI, high signal intensity on DWI with low signal intensity on ADC maps. The cystic components showed water like signal in 13 lesions, endometriosis cyst like signal in 4 lesions. Obviously enhancement were seen in solid parts in all lesions, in which 11 lesions (11/17, 64.71%) showed "comb shape" enhancement. There were no statistically differences in size, morphology and imaging manifestations of OEC with or without uterine endometrioid carcinoma (all $P > 0.05$). **Conclusion** CT and MR imaging demonstrate some morphological features of OEC, which is helpful to correct diagnosis preoperatively.

[Key words] Carcinoma, endometrioid; Ovarian Neoplasms; Tomography, X-ray computed; Magnetic resonance imaging

DOI: 10.13929/j.1003-3289.2016.09.024

卵巢子宫内膜样癌的 CT、MRI 表现

方如旗¹,曹代荣^{2*},李 坚²,周作福¹,陈霞平¹

(1. 福建省妇幼保健院影像科,福建 福州 350001;
2. 福建医科大学附属第一医院影像科,福建 福州 350005)

[摘要] 目的 探讨卵巢子宫内膜样癌(OEC)的CT和MRI表现。方法 回顾性分析经手术病理证实的21例OEC患者的CT或MRI及临床和病理学资料,分析其影像学和临床特点。结果 21例OEC患者共26个病灶,其中单侧16例,双侧5例,伴子宫内膜癌9例。26个病灶均呈囊实性,其中9个(9/26,34.62%)呈囊内结节型,17个(17/26,65.38%)呈囊壁增厚型,实性部分平扫CT值24~50HU,MR平扫T1WI呈低信号,T2WI呈等或稍高信号,DWI呈高信号,ADC图呈低信号;13个病灶囊内液呈水样改变,4个呈巧克力囊肿样改变;增强扫描实性部分明显强化,其中11个(11/17,64.71%)病灶呈“梳状”强化。伴和不伴子宫内膜癌OEC的病灶大小、形态及影像表现特征差异均无统计学意义(P 均 > 0.05)。结论 OEC在CT、MR表现有一定的特异性,有助于术前定性诊断。

[关键词] 癌,子宫内膜样;卵巢肿瘤;体层摄影术,X线计算机;磁共振成像

[中图分类号] R737.31; R445 **[文献标识码]** A **[文章编号]** 1003-3289(2016)09-1409-05

[第一作者] 方如旗(1983—),男,福建闽侯人,硕士,主治医师。研究方向:妇产科影像学。E-mail: fangruqi1983@163.com

[通信作者] 曹代荣,福建医科大学附属第一医院影像科,350005。E-mail: dairongcao@163.com

[收稿日期] 2016-04-12 **[修回日期]** 2016-06-20

卵巢子宫内膜样癌(ovarian endometrioid carcinoma, OEC)属于卵巢原发性上皮性恶性肿瘤,组织学改变与子宫内膜样癌类似,是卵巢上皮性恶性肿瘤中常见肿瘤之一^[1]。国内外有关OEC的影像研究报道较少^[2-4],本文探讨其CT和MRI的表现特点。

1 资料与方法

1.1 一般资料 收集2006年10月—2016年3月我院经手术病理证实的21例OEC患者,年龄34~72岁,平均(48.9 ± 9.4)岁。临床症状:盆腔包块6例,绝经后阴道出血8例,腹胀3例,腹痛7例,月经频发1例,排便异常1例。实验室检查:CA125升高16例(87~3 263 U/ml),CA199升高14例(143~1 200 U/ml),人附睾分泌蛋白(human epididymis secretory protein4, HE4)升高7例(198~353 pmol/L)。对7例行CT平扫及增强检查,14例行MR平扫及增强检查。

1.2 仪器与方法 CT扫描:采用Toshiba Aquilion one 320排CT机,管电压120 kV,管电流300 mA,层厚0.5 mm;增强扫描采用非离子型碘对比剂碘普罗胺(300 mgI/ml,拜耳医药保健有限公司),剂量1.5 ml/kg体质量,注射流率3.0~3.5 ml/s。MR扫描:采用GE Signa 1.5 T超导型MR扫描仪,体部8通道线控阵线圈。扫描序列包括:快速恢复快速自旋回波脂肪抑制T2W序列,TR 6 666 ms,TE 88 ms;FSE T1W序列,TR 220 ms,TE 8 ms;矩阵320×224,FOV 40 cm×40 cm;DWI采用EPI序列,TR 5 600 ms,TE 80 ms,b=0、800 s/mm²,矩阵128×128,FOV 32 cm×32 cm。各扫描序列层厚均为6 mm,层间距1 mm。增强扫描经肘静脉团注对比剂Gd-DTPA,剂量0.1 mmol/kg体质量,注射流率2 ml/s,采用腹部容积快速三维成像(liver acceleration volume acquisition, LAVA)序列,TR 8 ms,TE 6 ms,翻转角10°,矩阵256×192,FOV 36 cm×22 cm,层厚5 mm,层间距1 mm。

1.3 图像分析 由2名有经验的影像科医师独立阅片,分析卵巢病灶的发生部位、数目、形态、大小、边缘、内部结构、密度或信号、强化情况、淋巴结有无肿大,观察有无合并子宫内膜癌、子宫内膜异位症,有无其他腹腔脏器受累及有无盆腔种植灶。对伴发的子宫内膜癌进行MR分期,分期标准:Ia期,肿瘤局限于内膜;Ib期,肿瘤浸润浅肌层;Ic期,肿瘤浸润深肌层;II期,肿瘤累及宫颈;III期,肿瘤突破子宫伴宫外浸润,累及阴道;IV期肿瘤侵犯膀胱和直肠等器官。根据是否伴子宫内膜癌,分为伴子宫内膜癌组和不伴子宫内膜癌组。

1.4 病理检查与临床分期 所有手术切除标本均经HE染色、光镜下观察。术后临床分期采用2013年FIGO卵巢恶性肿瘤临床分期法。

1.5 统计学分析 采用SPSS 17.0统计分析软件,计量资料以 $\bar{x} \pm s$ 表示,计数资料以百分比表示。两组OEC征象差异比较采用两独立样本t检验或 χ^2 检验,检验水准 $\alpha=0.05$ 。

2 结果

2.1 病灶形态与结构 21例卵巢子宫内膜样癌中,单侧16例(右侧10例,左侧6例),双侧5例,共26个病灶。病灶最长径2.3~16.8 cm,平均(10.45 ± 5.33)cm,5个病灶最长径<5 cm,10个病灶最长径5~10 cm,8个病灶最长径≤10~15 cm,3个病灶最长径≥15 cm。20个病灶呈类圆形或椭圆形,4个病灶呈分叶状,2个病灶呈不规则形;18个病灶呈单房性,8个病灶呈多房性;病灶均为囊实性,囊内结节型9个(9/26,34.62%,图1),囊壁增厚型17个(17/26,65.38%,图2)。5个病灶以囊性为主、实性部分<1/4,6个病灶实性部分占1/4~1/2,7个病灶实性部分占≤1/2~3/4,8个病灶实性部分≥3/4。

2.2 影像学表现 CT检查7例共9个病灶,病灶边缘清晰,包膜完整,均呈囊实性,病变实性部分平扫呈

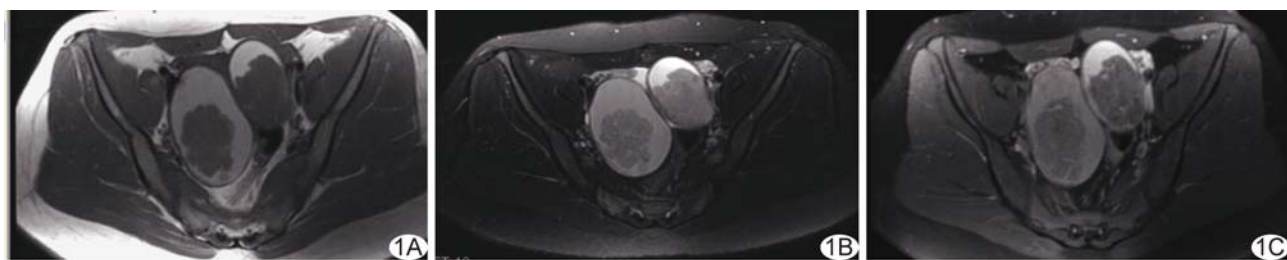


图1 患者女,34岁,双侧OEC,囊内结节型 A.轴位T1WI见囊液呈高信号,实性结节呈低信号;B.脂肪抑制T2WI见实性结节呈稍高信号,囊液呈高信号;C.增强后实性结节明显强化

软组织密度,密度欠均匀,CT值24~50 HU,囊性部分为低密度,CT值3~36 HU(图3),均未见钙化或出血灶,增强扫描实性部分可见不均匀明显强化。MR平扫14例共17个病灶,病灶边缘清晰,包膜完整,均呈囊实性,实性部分T1WI呈低信号,T2WI呈等或稍高信号,DWI呈高信号,ADC图呈低信号,增强扫描实性部分不均匀明显强化,囊性部分13个病灶呈水样改变(T1WI呈低信号,T2WI呈高信号),4个病灶呈巧克力囊肿样信号(T1WI呈高信号,T2WI呈高或稍高信号),脂肪抑制T1WI呈高信号),囊内信号均匀,囊性部分增强后无强化;囊壁增厚型增强扫描实性部分明显强化,11个(11/17,64.71%)病灶在环形实性影中可见“梳状”强化(图2D);囊内结节型(9/9,10.00%)均表现为囊内结节状、团块状实变,增强扫描可见明显强化。

2.3 合并症 21例患者中,伴子宫内膜癌(图4)9例(9/21,42.86%),均行MR检查;MR分期:I b期4例,I c期3例,II期2例;7例为单侧OEC合并子宫内膜癌,2例为双侧OEC合并子宫内膜癌。3例子宫内膜增生,9例合并子宫内膜异位或子宫腺肌症。伴子宫肌壁间肌瘤3例。6例

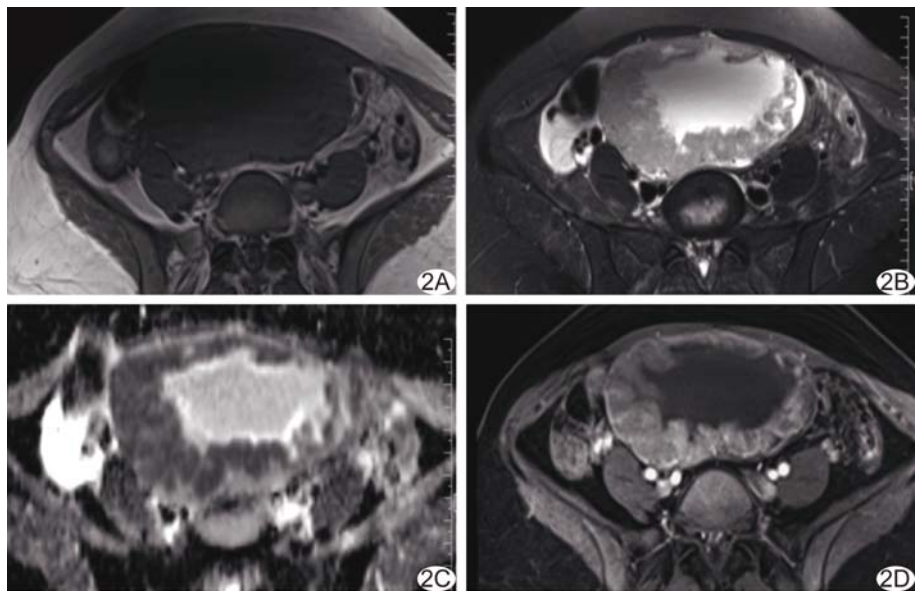


图2 患者女,40岁,右侧OEC,囊壁增厚型 A.轴位T1WI见囊液、实性部分均呈低信号; B.脂肪抑制T2WI见囊壁不均匀环形增厚,实性部分呈稍高信号,囊液呈高信号; C. ADC图见实性部分呈低信号,表现为弥散受限; D.增强图像见实性部分呈环形伴“梳状”强化

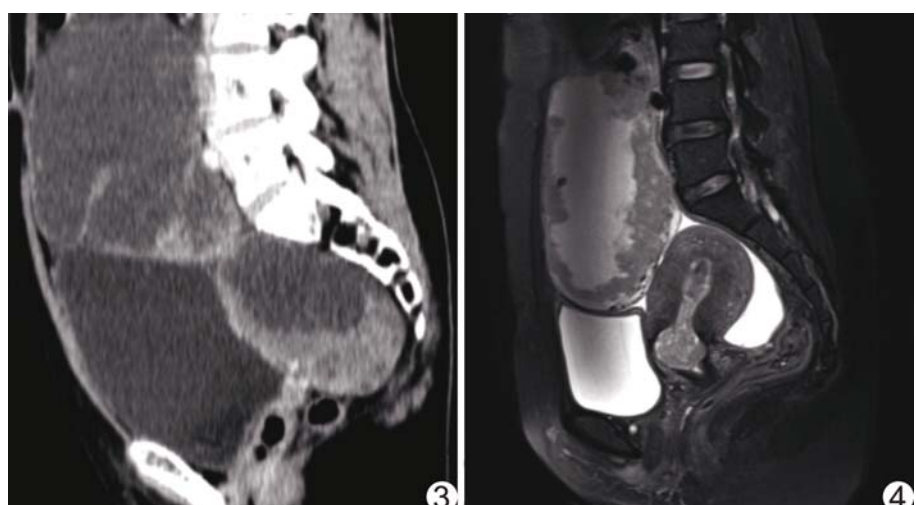


图3 患者女,55岁,双侧OEC,囊壁增厚型 矢状位CT增强图像见囊壁不规则增厚,不均匀强化,囊液无强化 图4 患者女,48岁,右侧OEC(囊壁增厚型)伴子宫内膜癌,矢状位T2WI脂肪抑制序列,子宫和附件区均见肿块

表1 伴和不伴子宫内膜癌组OEC影像表现比较

组别	病灶最长径 (cm, $\bar{x} \pm s$)	单双侧性(例)		多房性(个)		实性形态(个)		实性部分所占比例(个)				囊液信号(个)*		盆腔种植(例)	
		单侧	双侧	单房	多房	囊内 结节型	囊壁 增厚型	<1/4	1/4~ <1/2	1/2~ <3/4	≥3/4	巧克力 囊肿样	水样	有	无
伴子宫内膜癌组	9.09±0.79	7	2	6	5	4	7	3	4	2	2	1	7	2	7
不伴子宫内膜癌组	7.73±1.02	9	3	12	3	5	10	2	2	5	6	3	6	4	8
χ^2 或t值		1.533 2	0.021 9	1.930 0	0.025 7			0.021 9				1.021 6		0.311 1	
P值		0.05	0.75		0.10		0.50				>0.75		0.25		0.50

注:仅针对接受MR检查的患者

MR发现盆腔种植和邻近器官侵犯,1例病灶侵及邻近乙状结肠,1例侵及同侧输卵管,1例侵及子宫、宫颈浆膜层,3例伴对侧卵巢表面种植,少量盆腔积液10例,21例均未见淋巴结转移。

2.4 手术及病理 21例患者均接受开腹手术,其中7例接受卵巢癌根治术,12例接受患侧附件切除术并子宫切除术,2例有生育需求患者仅接受肿瘤切除并同侧附件切除,保留子宫及健侧附件。所有病灶病理结果均为不同分化程度的卵巢子宫内膜样癌。大体标本:肿瘤形态呈圆形、分叶状,切面实性区质硬,呈灰黄色,囊腔内见黏液7例、淡黄清亮液体13例,6例囊内液呈暗红色、巧克力样。术后临床分期:Ia期10例,Ib期1例,Ic期4例,IIa期3例,IIb期2例,III期以上1例。

2.5 两组OEC临床、影像对比分析 伴子宫内膜癌组9例11个病灶,不伴子宫内膜癌组12例15个病灶,2组间OEC大小、形态及影像表现特征比较,差异均无统计学意义(P 均 >0.05),见表1。

3 讨论

3.1 临床特点 OEC属于卵巢表面上皮-间质来源肿瘤的一个亚型,由类似子宫内膜样腺癌的恶性腺体或乳头状结构组成的腺癌,占原发性卵巢肿瘤的10%~14%^[5]。有报道^[6]OEC老年人多发,本组患者年龄略小于该报道。OEC临床表现缺乏特异性,本组患者主要临床表现为盆腔包块,部分表现为子宫内膜癌症状,出现绝经后阴道出血,术前癌胚抗原检测如CA125、CA199、HE4升高提示上皮来源性肿瘤。

3.2 MR、CT表现 OEC可单侧或双侧发病,本组21例患者,单侧病灶16例,双侧5例。肿块呈囊实性是OEC的重要特征之一^[3,7],本组均表现为囊实性肿块,实性成分形态上表现为囊内结节型和囊壁增厚型。囊壁增厚型较为常见(17/26,65.38%),增强扫描实性部分强化较为明显,在环形实性影中可见“梳状”强化影较具特征性,可能与肿瘤假小叶呈向心性生长,中心有与囊壁基底相连、富含血管间质轴索有关,增强扫描表现为强化较明显的索状影,但其形成机制有待于病理进一步证实;本组囊壁增厚型17个病灶中11个(11/17,64.71%)可见此征象;囊内结节型较少(9/26,34.62%),与卵巢其他类型上皮性肿瘤表现类似。OEC钙化极少见,本组7例CT检查9个病灶均未见钙化影,与既往研究^[7]相似。囊性成分MR图像可见水样信号和巧克力囊肿样信号,既往有学者^[8-10]研究认为部分OEC来源于子宫内膜异位囊肿恶变,囊液呈

巧克力囊肿样为其特征。有研究^[11]报道OEC盆腔种植、周围侵犯常见,本组发现6例患者有盆腔种植或侵犯征象,主要位于对侧卵巢表面、同侧输卵管、子宫或宫颈浆膜面或肌层、乙状结肠、肠系膜等,本组未见远处转移病例。有研究^[5,7]报道OEC可伴淋巴结转移,但本组未发现淋巴结转移患者,与术中淋巴结探查结果阴性一致,可能与本组病例术后病理临床分期多为早期(I或II期)有关。

MR软组织分辨率高于CT,可显示伴发的子宫内膜癌、邻近组织侵犯、盆腔种植等征象,盆腔脏器的种植是术后临床分期的依据;本组MRI显示6例种植征象,其中乙状结肠、输卵管以及子宫、宫颈种植灶与术后临床分期IIa期、IIb期相符合,但MR未发现1例输卵管种植及1例卵巢表面种植,本组1例伴腹膜转移III期及1例乙状结肠侵犯IIb期病例,CT图像未显示种植灶,因此术前准确发现种植转移灶仍存在较大困难。本组样本数较少,未进行术前影像学分期,有待于增加样本量与术后临床分期对比。

3.3 伴和不伴子宫内膜癌OEC临床、MR征象分析

Kurman等^[12]认为子宫腔内膜癌侵犯范围大、细胞分化差、浸润征象明显,OEC很可能为子宫内膜癌转移而来。本组伴子宫内膜癌的OEC患者9例(9/21,42.86%),子宫内膜癌MR分期Ib~II期,一侧或双侧宫角侵犯3例,无广泛侵犯的病例,因此笔者认为OEC由子宫内膜癌转移而来的理论证据不足。本组对比分析伴和不伴子宫内膜癌患者的MR特征,其病灶大小、形态、侵犯情况等差异均无统计学意义(P 均 >0.05),提示OEC与子宫内膜癌为独立发生的原发性病变,OEC可能直接源于卵巢表面上皮的化生^[13-14]。

3.4 鉴别诊断 本组OEC病例均表现为囊实性肿块,实性部分MR增强表现为环形伴“梳状”强化,有一定特征性,但仍须与卵巢其他囊实性肿块相鉴别:①卵巢其他类型上皮性癌(如浆液性癌或黏液性癌),盆腔侵犯、淋巴结转移、腹腔积液常见且出现较早,钙化多见,伴子宫内膜癌者极少;②卵巢库肯伯格瘤,双侧发病常见,易伴发大量腹腔积液,伴发子宫内膜癌少见,有原发肿瘤病史;③性索间质肿瘤,颗粒细胞瘤最常见,具有内分泌功能,可伴子宫内膜增生或内膜癌,患者可出现内分泌功能紊乱,囊内出血较有特征性。

总之,OEC在MR、CT表现有一定特征性,影像学诊断对术前定性诊断有较大的参考价值,但准确分期仍有较大困难,有待进一步优化高分辨检查方法。

[参考文献]

- [1] 张建民. 卵巢病理学. 南昌: 江西科学技术出版社, 2004: 164-168.
- [2] 徐晓娟, 陈雁, 唐威. CT 诊断卵巢子宫内膜样癌. 中国医学影像技术, 2013, 29(9): 1522-1525.
- [3] 张园, 孙多成, 汪新良, 等. 卵巢子宫内膜样肿瘤的 MRI 表现. 中国中西医结合影像学杂志, 2014, 12(3): 242-243, 267.
- [4] Kitajima K, Kaji Y, Kuwata Y, et al. Magnetic resonance imaging findings of endometrioid adenocarcinoma of the ovary. Radiat Med, 2007, 25(7): 346-354.
- [5] Denschlag D, Tan L, Patel S, et al. Stage III endometrial cancer: Preoperative predictability, prognostic factors, and treatment outcome. Am J Obstet Gynecol, 2007, 196(6): 546-553.
- [6] Katoh T, Yasuda M, Hasegawa K, et al. Estrogen-producing endometrioid adenocarcinoma resembling sex cord-stromal tumor of the ovary: A review of four postmenopausal cases. Diagn Pathol, 2012, 7: 164.
- [7] 王志峰, 赵国立, 费玉凤. 卵巢内膜样癌的 CT 诊断. 放射学实践, 2011, 26(2): 199-201.
- [8] Wu TT, Coakley FV, Qayyum A, et al. Maganetic resonance imaging of ovarian cancer arising in endometriomas. J Comput Assist Tomogr, 2004, 28(6): 836-838.
- [9] Tsili AC, Argyropoulou MI, Koliopoulos G, et al. Malignant transformation of an endometriotic cyst: MDCT and MR findings. J Radiol Case Rep, 2011, 5(1): 9-17.
- [10] Takeuchi M, Matsuzaki K, Uehara H, et al. Malignant transformation of pelvic endometriosis: MR imaging findings and pathologic correlation. Radiographics, 2006, 26(2): 407-417.
- [11] 李伟大, 陈艳, 王煜虹, 等. 卵巢子宫内膜样癌的 CT、MRI 诊断与病理分析. 温州医科大学学报, 2014, 44(3): 209-212.
- [12] Kurman RJ, Craig JM. Endometrioid and clearcell carcinoma of the ovary. Cancer, 1972, 29(6): 1653-1664.
- [13] Hascalik S, Celik O, Sarac K, et al. Metabolic changes in pelvic lesions: Findings at proton MR spectroscopic imaging. Gynecol Oncol Invest, 2005, 60(3): 121-127.
- [14] Soliman PT, Slomovitz BM, Broaddus RR, et al. Synchronous primary cancers of the endometrium and ovary: A single institution review of 84 cases. Gynecol Oncol, 2004, 94(2): 456-462.

《中国医学影像技术》投稿须知(一)

1 投稿方式 本刊已启用编辑系统, 投稿请登陆本刊主页, 点击左上角“作者登录”进入, 首次投稿需要注册, 登录编辑系统投稿, 本刊不接受电子邮件投稿, 软盘或信件投稿。内容包括: ①作者单位推荐信和医学伦理知情同意书, 推荐信中注明无一稿多投、不涉及保密、署名无争议三项, 扫描上传; ②正文内容, 一律用宋体 5 号字, 不分栏, 页边距上下左右统一为 1.5 cm, 以 Word 格式存储; ③图片插入正文相应位置, 图号不要标在图片上, 标在图片下面, 图片下面需要注明图号、图题、图片说明, 格式为“图号 图题 图片说明”。本部通过 E-mail 告知您稿号, 请谨记稿号, 以便查询稿件情况。

2 审稿及录用 所有来稿均需经本刊编辑部初审、同行专家评议、作者修改, 审稿人姓名对作者保密, 投稿时作者可以提出要求回避的评审专家的姓名。本刊已启用学术不端检索系统, 凡复制比达到或者超过 15% 的文章直接退稿, 其余稿件根据本刊编委会评审意见、作者的修改情况以及论文质量等级, 在刊出前决定稿件取舍。